



UNIVERSIDADE FEDERAL DO ABC- UFABC

**Prova 1 - Transformadas em Sinais e Sistemas Lineares**

Gabriel de Oliveira Souza - RA.:11201811094

SANTO ANDRE - SP  
Julho 2021

# P1 - TSSL

Gabriel de Oliveira Souza

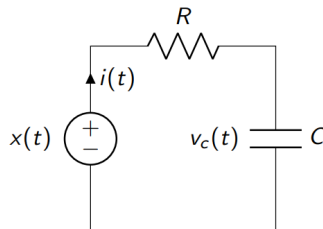
Julho 2021

## 1 Enunciado do problema

### Primeira avaliação

#### Enunciado do problema

Para o circuito mostrado



Considere o sinal de tensão no capacitor  $v_c(t)$  como a saída do circuito.

Sabendo que

$$v_c(t) = \frac{1}{C} \int_0^t i(\tau) d\tau,$$

o modelo matemático é

$$(D + 1/RC)v_c(t) = (1/RC)x(t)$$

com  $R = 0.8\Omega$  e  $C = 0.1F$ .

- 1) Calcule  $V_c(t)$  para o sinal periódico quadrado mostrado com  $T_0 = 4$  e  $T_s = 1$ , considere nula a carga inicial do capacitor, isto é,  $V_c(0) = 0$
- 2) Obtenha os gráficos dos sinais  $V(t)$ ,  $I(t)$  e  $V_c(t)$
- 3) Obtenha os espectros de amplitude e fase dos sinais obtidos.
- 4) Repita o exercício anterior para o sinal de entrada com  $A = 2$ ,  $T_0 = 5$ ,  $T_H = 2$  e  $T_L = 3$

## 2 Resolução do problema 1)

O primeiro passo para obtenção do sinal de saída  $V_c(t)$  é a modelagem do sinal de entrada  $x(t)$  a partir da série de Fourier contínua no tempo.

Para modelagem e cálculo da série, foi adotada como ferramenta, a linguagem de programação Python 3.8, juntamente com as bibliotecas Numpy, Sympy e Matplotlib para manipulação numérica, simbólica e visualização dos dados, respectivamente.

```
import sympy as sp
import numpy as np
import matplotlib.pyplot as plt
from IPython.display import display, Math
from sympy import symbols
```

Particularmente,  $x(t)$  se trata de um sinal periódico quadrado e pode ser facilmente modelado pela série de Fourier tomando apenas um período do sinal, neste caso escolhemos o intervalo compreendido entre  $-T_0$  e  $T_0$ , onde o comportamento do sinal pode ser descrito pela seguinte função.

$$\begin{aligned}x(t) &= 1, -Ts \leq x \leq Ts \\x(t) &= 0, \text{otherwise}\end{aligned}$$

Para obter a série de Fourier correspondendo ao sinal, primeiro temos de calcular os Harmônicos da série ( $X_k$ ), que podem ser obtidos através da equação (1):

$$X_k = \frac{1}{T_0} \int_{T_0} x(t) e^{-jk\omega_0 t} dt \quad (1)$$

Substituindo os valores do intervalo de integração escolhido, podemos definir a integral dos harmônicos da série pela expressão (2):

$$0.25 \int_{-1}^1 e^{-\frac{j\pi kt}{2}} dt \quad (2)$$

Ao resolver esta integral, chegamos que os harmônicos da série de Fourier para o sinal  $x(t)$  são dados por:

$$\begin{cases} \frac{1.0 \sin\left(\frac{\pi k}{2}\right)}{\pi k} & \text{for } k > -\infty \wedge k < \infty \wedge k \neq 0 \\ 0.5 & \text{otherwise} \end{cases} \quad (3)$$

Através do código Python a seguir, foi possível definir e calcular a integral (2), obtendo o resultado (3)

```
t , j , k , u , w = symbols('t j k u w')
T0 = 4
Ts = 1
w0 = 2*sp.pi/T0
x = 1
auto = sp.exp(-sp.I*k*w0*t)
Xk = (1/T0)*sp.Integral(x*auto, (t, -Ts, Ts))
Xks = sp.simplify(sp.combsimp(Xk.doit()))
Xks
```

Agora com a expressão dos harmônicos bem definida, podemos obter a forma trigonométrica da série de Fourier, calculada através da equação (4).

$$x(t) = X_0 + \sum_{k \in \mathbb{N}} (2Re(X_k) \cos(k\omega_0 t) - 2Im(X_k) \sen(k\omega_0 t)) \quad (4)$$

Através do código Python a seguir, foi possível calcular a série de Fourier trigonométrica, como definida em (4):

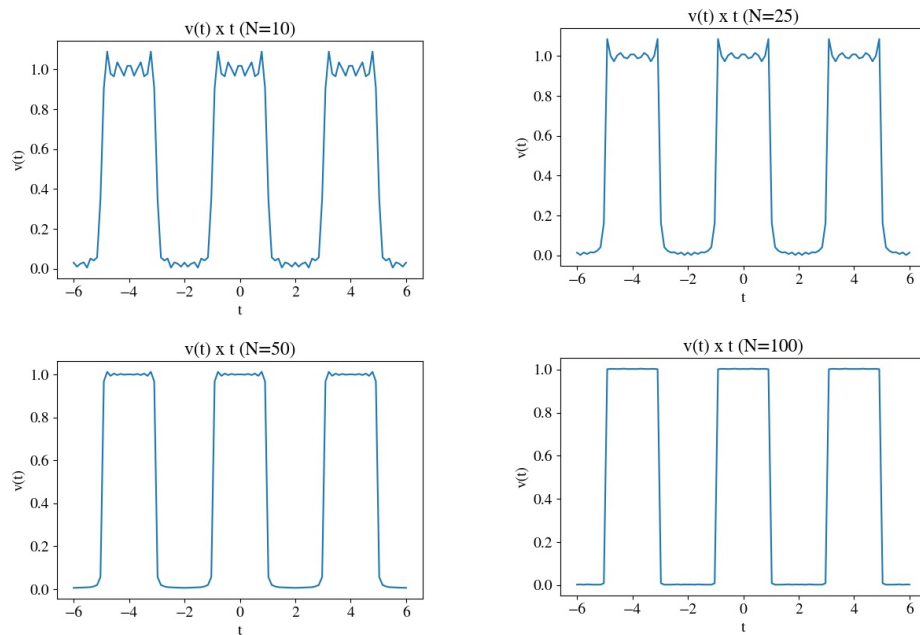
```
def round_expr(expr, num_digits):
    return expr.xreplace({n : round(n, num_digits)
        for n in expr.atoms(sp.Number)})
# Série de Fourier Trigonométrica
x = sp.Function("x")
x = 0
#X0
x = Xks.subs(k, 0)
#Somatória
for i in range(1, 100):
    x += ( 2*sp.re(Xks.subs(k, i)) * sp.cos(k*w0*t)
```

```

\ -2*sp.im(Xks.subs(k,i))*sp.sin(k*w0*t)).subs(k,i)
x = round_expr(x,3)
#Mapeando a funcao do Sympy p/ Numpy
lam_x = sp.lambdify(t, x, modules=['numpy'])
lam_x

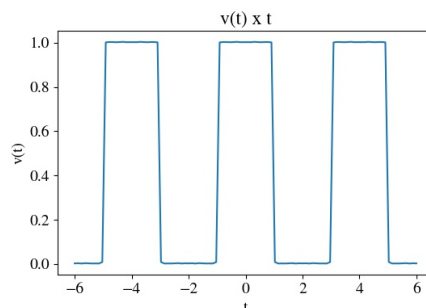
```

Plotando o resultado da série trigonométrica de Fourier para o sinal  $x(t)$ , com  $N=10$ , 25, 50 e 100 termos na composição da série, obtemos os seguintes resultados:



Comparativo 1: Convergência Série de Fourier

Para manter maior fidelidade ao sinal original  $x(t)$ , seguiremos com a série de Fourier trigonométrica de  $V(t)$  composta por 100 termos ( $N=100$ ). Ao plotar esta série, temos o resultado abaixo:



Agora, com o sinal da tensão de entrada  $x(t)$  já modelado através da série de Fourier trigonométrica, podemos determinar  $V_c(t)$ , resolvendo a Equação Diferencial (5)

$$\begin{aligned}
 (D + 1/RC)V_c(t) &= (1/RC)x(t) \\
 V_c(0) &= 0 \\
 \text{com } R &= 0.8\Omega \text{ e } C = 0.1F
 \end{aligned}
 \tag{5}$$

Para resolver a Equação (5), temos de primeiramente calcular a resposta ao impulso unitário  $h(t)$ , referente à tensão de saída  $V_c(t)$ . O primeiro passo, consiste na obtenção dos termos dos modos característicos  $y_n(t)$ , através da Equação (6).

$$12.5 y_n(t) + \frac{d}{dt} y_n(t) = 0
 \tag{6}$$

Resolvendo a Equação diferencial (6), temos que os TMC, são da forma:

$$y_n(t) = e^{-12.5t}$$

Podemos obter a resposta ao impulso unitário  $h(t)$ , através da Equação (7)

$$h(t) = b_0\delta(t) + [P(D)y_n(t)]u(t) \quad (7)$$

$$\Rightarrow h(t) = 12.5\delta(t) + 12.5e^{-12.5t}, t \geq 0$$

Através do código Python a seguir, foi possível obter a expressão da resposta ao impulso unitário  $h(t)$ , seguindo os passos descritos por (5), (6) e (7):

```
y_n = sp.Function('y_n')
h_t = sp.Function('h_t')

#Definindo a equação para encontrarmos y_n(t)
eq = sp.Eq(sp.diff(y_n(t), t, 1) + (1/(R*C))*y_n(t), 0)
display(eq)

#Resolvendo a equação com as condições iniciais da função de DIRAC

res = sp.dsolve(eq, hint="best")
y_n = res
display(y_n)

#Substituindo as cond iniciais do sistema

const = sp.solve(sp.Eq(y_n.rhs.subs(t, 0), 1))[0]
display(const)

y_n = y_n.rhs.subs("C1", const)

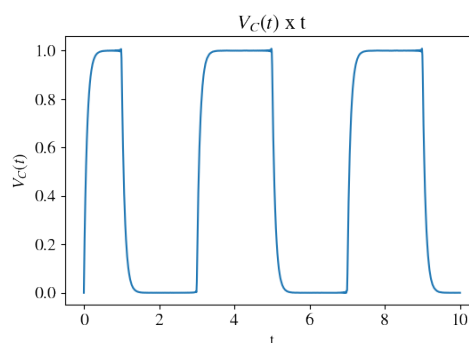
#Aplicar o operador P(D) no resultado obtido em y_n
h_t = (1/(R*C))*y_n
display(h_t)
h_t = sp.simplify(sp.combsimp(h_t.doit())) + (1/(R*C))*sp.DiracDelta(t)
display(Math("h_t(t) = {}"+ sp.latex(h_t) + " , t\geq 0"))
```

Partindo do resultado de  $h(t)$  obtido em (7), foi possível obter  $V_c(t)$ , através da operação de convolução entre  $h(t)$  e  $x(t)$ , representada pela Equação (8):

$$V_c(t) = (x * h)(t) = \int_{-\infty}^{\infty} x(\tau)h(t - \tau)d\tau \quad (8)$$

$$\Rightarrow \int_0^t (12.5e^{12.5\tau-12.5t} + 12.5\delta(-\tau + t))x(\tau) d\tau$$

Calculando a integral de convolução (8) no Python, podemos visualizar a curva de  $V_c(t)$  X  $t$ . Plotando a função resultante, foi obtido o seguinte resultado:



Através do código Python a seguir, foi possível obter a solução da integral de convolução da Equação (8):

```
def resposta_estado_nulo(x_t, h_t):
    display(Math("\n h(t) ={" + sp.latex(h_t)) , Math("x(t) ={" + sp.latex(x_t)))

    expr = sp.Integral(x_t.subs(t, j)*h_t.subs(t, t-j), (j, 0, t))
    display(expr)

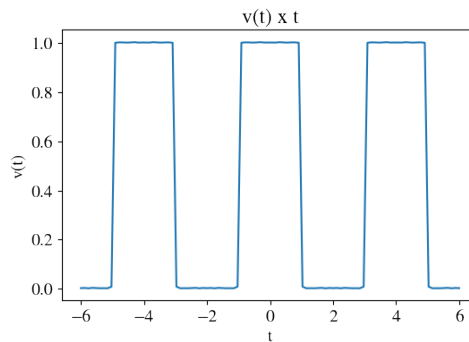
    result = expr.doit()
    result = round_expr(result, 3)

    display(Math("\ny_h(t) ={" + sp.latex(result) + " , t\geq 0"))
    return result

V_c = sp.Function("V_c")
V_c = resposta_estado_nulo(x, h_t)
```

### 3 Resolução do problema 2)

Conforme apresentado na Seção 2, o gráfico de  $V(t)$  foi obtido a partir da série de Fourier trigonométrica composta por 100 termos ( $N=100$ ). Podemos observar o plot abaixo:



Código Python utilizado para plot do sinal  $V(t)$ :

```
lam_x = sp.lambdify(t, x, modules=['numpy'])
x_vals = np.linspace(-T0-Ts-1, T0+Ts+1, 100)
y_vals = (abs(lam_x(x_vals)))
mpl.plot(x_vals, y_vals)
mpl.ylabel("v(t)")
mpl.xlabel("t")
mpl.title("v(t) x t")
mpl.savefig("v_100.jpg")
mpl.show()
```

Analogamente ao procedimento apresentado para obtenção do sinal  $V_C(t)$  durante a Seção 2, foi necessário calcular a resposta ao impulso unitário  $h(t)$  e realizar a operação de convolução com o sinal de entrada  $V(t)$ , para obter o gráfico de  $I(t)$ .

Podemos determinar  $I(t)$ , resolvendo a Equação Diferencial (9)

$$\begin{aligned} (D + 1/RC)I(t) &= (1/R)Dx(t) \\ I(0) &= 1 \\ R &= 0.8\Omega \text{ e } C = 0.1F \end{aligned} \quad (9)$$

$$12.5 y_n(t) + \frac{d}{dt} y_n(t) = 0 \implies y_n(t) = C_1 e^{-12.5t} \quad (10)$$

Podemos obter a resposta ao impulso unitário  $h(t)$ , através da Equação (7)

$$\Rightarrow h_t(t) = 1.25\delta(t) - 15.625e^{-12.5t}, t \geq 0 \quad (11)$$

Através do código Python a seguir, foi possível obter a expressão da resposta ao impulso unitário  $h(t)$ , seguindo os passos descritos por (9), (10) e (11):

```
#Definindo os parâmetros iniciais do sistema
R = 0.8
C = 0.1
y_n = sp.Function('y_n', real=True)
h_t = sp.Function('h_t', real=True)

#Definindo a equação para encontrarmos y_n(t)
eq = sp.Eq(sp.diff(y_n(t), t, 1) + (1/(R*C))*y_n(t), 0)
display(eq)

#Resolvendo a equação com as condições iniciais da função de DIRAC
res = sp.dsolve(eq, hint="best")
y_n = res
display(y_n)

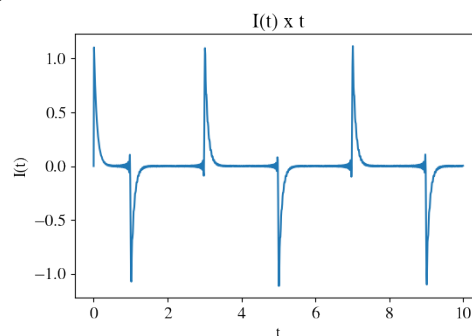
#Substituindo as cond iniciais do sistema

const = sp.solve(sp.Eq(y_n.rhs.subs(t, 0), 1)) [0]
y_n = y_n.rhs.subs("C1", const)

#Aplicar o operador P(D) no resultado obtido em y_n
h_t = (1/(R))*sp.diff(y_n, t)
h_t = round_expr(h_t, 3)
display(h_t)
h_t = sp.simplify(sp.combsimp(h_t.doit())) + (1/(R))*sp.DiracDelta(t)
display(Math("h_t(t) = {}"+ sp.latex(h_t) + " , t\geq 0"))
```

$$\int_0^t (-15.625e^{12.5\tau-12.5t} + 1.25\delta(-\tau+t)) x(\tau) d\tau \quad (12)$$

Calculando a integral de convolução (12) no Python, podemos visualizar a curva de  $I(t)$  X  $t$ . Plotando a função resultante, foi obtido o seguinte resultado:

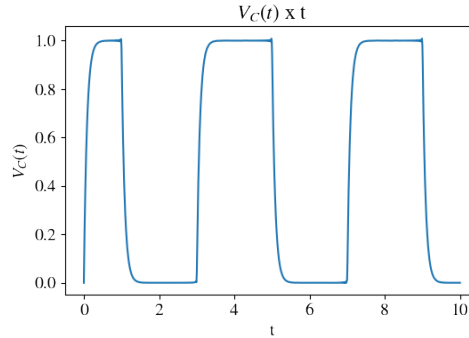


Código Python utilizado para plot do sinal  $I(t)$ :

```
I_t = sp.Function("I_t")
I_t = resposta_estado_nulo(x, h_t)
corrente = sp.lambdify(t, I_t,
modules = [{'Heaviside': lambda x: np.heaviside(x, 1)}, 'numpy'] )
x_vals = np.linspace(0, 10, 1000)
y_vals = (corrente(x_vals))
mpl.plot(x_vals, y_vals)
mpl.ylabel("I(t)")
mpl.xlabel("t")
```

```
mpl.title("I(t) x t")
mpl.show()
```

Conforme apresentado na Seção 2, o gráfico de  $V_C(t)$  foi obtido a partir da convolução da resposta ao impulso unitário  $h(t)$  com o sinal de entrada  $V(t)$ . Importante notar que o sinal de entrada  $V(t)$  foi representado pela série de Fourier trigonométrica composta por 100 termos ( $N=100$ ). Podemos observar o plot abaixo:



Código Python utilizado para plot do sinal  $V_C(t)$ :

```
tensao = sp.lambdify(t, V_c,
modules = [{'Heaviside': lambda x: np.heaviside(x,0)}, 'numpy'] )
x_vals = np.linspace(0, 10, 1000)
y_vals = (abs(tensao(x_vals)))
mpl.plot(x_vals, y_vals)
mpl.ylabel("$V_C(t)$")
mpl.title("$V_C(t)$ x t")
mpl.xlabel("t")
mpl.show()
```

## 4 Resolução do problema 3)

Foi possível obter os espectros de  $V(t)$ , partindo dos Harmônicos da série de Fourier previamente calculados, através das Equações descritas em (13).

$$\begin{aligned} c_k &= |X_k| \\ \theta_k &= -\tan^{-1}(b_k/a_k) \end{aligned} \quad (13)$$

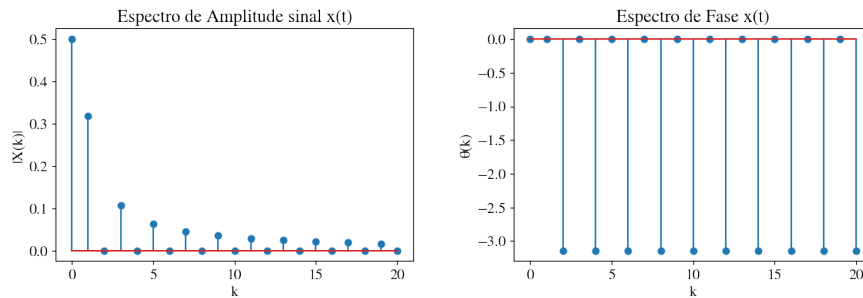


Figura 1: Espectros do Sinal  $V(t)$

Através do código Python a seguir, foi possível obter o espectro de amplitude para o sinal  $V(t)$ , como descrito em (13)

```
#Espectro de Amplitude
x_vals = np.linspace(0, 20, 21)
y_vals = []
```



```

for i in x_vals:
    y_vals.append(abs(Xks.subs(k,i)))

mpl.stem(x_vals, y_vals)
mpl.ylabel("|X(k)|")
mpl.xlabel("k")
mpl.title("Espectro de Amplitude sinal x(t)")
mpl.show()

```

Através do código Python a seguir, foi possível obter o espectro de fase para o sinal  $V(t)$ , como descrito em (13)

```

#Espectro de Fase
x_vals = np.linspace(0, 20, 21)
y_vals = []

for i in x_vals:
    y_vals.append( sp.atan( ( 2*sp.im( Xks.subs(k,i)) ) / (2*sp.re(Xks.subs(k,i))) ) )
    if y_vals[len(y_vals)-1] == sp.nan:
        y_vals[len(y_vals)-1] = -np.pi

mpl.stem(x_vals, y_vals, use_line_collection=True)
mpl.ylabel("theta(k)")
mpl.xlabel("k")
mpl.title("Espectro de Fase x(t)")
mpl.show()

```

Foi possível obter os espectros de  $I(t)$ , partindo dos Harmônicos encontrados pela resposta em frequência da corrente (14).

$$H(j\omega) = \int_{-\infty}^{\infty} h(\tau)e^{-j\omega\tau}d\tau \implies H(jk\omega_0) = \frac{jk\omega_0/R}{jk\omega_0 + 1/RC} \quad (14)$$

$$X_{ktil} = \sum_{k \in \mathbb{Z}} X_k H(jk\omega_0) \quad (15)$$

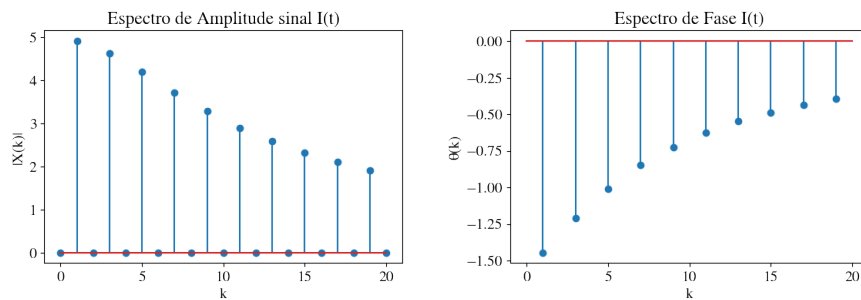


Figura 2: Espectros do Sinal  $I(t)$

Através do código Python a seguir, foi possível obter os harmônicos partindo da resposta em frequência para  $I(t)$ , como descrito em (14) e (15)

```

I_t = 0
X_k_til = 0
for i in range(1, 100):
    I_t += (Xks.subs(k,i) * ((sp.I*k*w0/R) / (sp.I*k*w0 + (1/(R*C))))) * sp.exp(sp.I*k*w0*t).subs(k,i)
    X_k_til += (Xks * ((sp.I*k*w0/R) / (sp.I*k*w0 + (1/(R*C)))))
I_t = round_expr(I_t, 3)

```

Através do código Python a seguir, foi possível obter o espectro de amplitude para o sinal I(t)

```
#Espectro de Amplitude
x_vals = np.linspace(0, 20, 21)
y_vals = []

for i in x_vals:
    y_vals.append(abs(X_k_til.subs(k,i)))

mpl.stem(x_vals, y_vals)
mpl.ylabel("|X(k)|")
mpl.xlabel("k")
mpl.title("Espectro de Amplitude sinal I(t)")
mpl.show()
```

Através do código Python a seguir, foi possível obter o espectro de fase para o sinal I(t)

```
#Espectro de Fase
x_vals = np.linspace(0, 20, 21)
y_vals = []

for i in x_vals:
    y_vals.append(-sp.atan( (2*sp.im( X_k_til.subs(k,i))) / (2*sp.re(X_k_til.subs(k,i))))))

mpl.stem(x_vals, y_vals, use_line_collection=True)
mpl.ylabel("theta(k)")
mpl.xlabel("k")
mpl.title("Espectro de Fase I(t)")
mpl.show()
```

## 5 Resolução do problema 4)

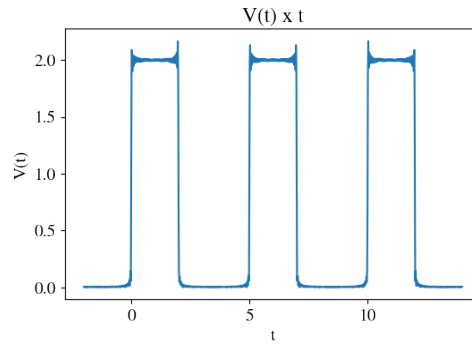
Analogamente, ao procedimento adotado durante a Seção 2 para obtenção da série de Fourier Trigonométrica do sinal de entrada x(t), foram obtidos os harmônicos da série  $X_k$ , através da integral (16)

$$0.2 \int_0^2 2e^{-\frac{2i\pi kt}{5}} dt \Rightarrow \begin{cases} \frac{1.0i(-1+e^{-\frac{4i\pi k}{5}})}{\pi k} & \text{for } k > -\infty \wedge k < \infty \wedge k \neq 0 \\ 0.8 & \text{otherwise} \end{cases} \quad (16)$$

Através do código Python a seguir, foi possível definir e calcular os harmônicos da série de Fourier de x(t), como exposto em (16)

```
t, j, k, u, w = symbols('t j k u w')
T0 = 5
Ts = 2
w0 = 2*sp.pi/T0
x = 2
auto = sp.exp(-sp.I*k*w0*t)
Xk = (1/T0)*sp.Integral(x*auto, (t, 0, Ts))
Xks = sp.simplify(sp.combsimp(Xk.doit()))
Xks
```

Com os harmônicos da série já calculados, foi possível obter a representação da série de Fourier na forma trigonométrica para o novo sinal de entrada x(t) e finalmente, plotar a função resultante tomando N=100 termos na composição da série:



Através do código Python a seguir, foi possível calcular a representação de série de Fourier trigonométrica para o novo sinal de entrada  $x(t)$

```
# Série de Fourier Trigonométrica
x = sp.Function("x")
x = 0
#X0
x = Xks.subs(k,0)
#Somatória
for i in range(1,100):
    x += ( 2*sp.re(Xks.subs(k,i))*sp.cos(k*w0*t)
    \- 2*sp.im(Xks.subs(k,i))*sp.sin(k*w0*t)).subs(k,i)
x = round_expr(x,3)
lam_x = sp.lambdify(t, x, modules=['numpy'])
x_vals = np.linspace(-1, 2*T0, 1000)
y_vals = (abs(lam_x(x_vals)))
mpl.plot(x_vals, y_vals)
mpl.ylabel("x(t) ")
mpl.xlabel("t")
mpl.title("x(t) x t")
mpl.show()
```

Analogamente ao procedimento descrito na Seção 3, foi possível obter, partindo da série de Fourier do sinal de entrada, os gráficos dos espectros de  $x(t)$

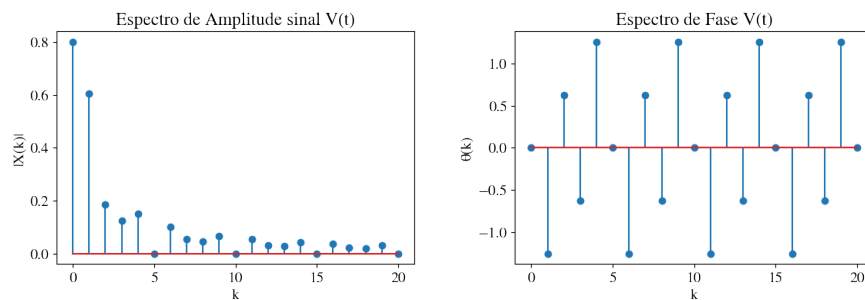
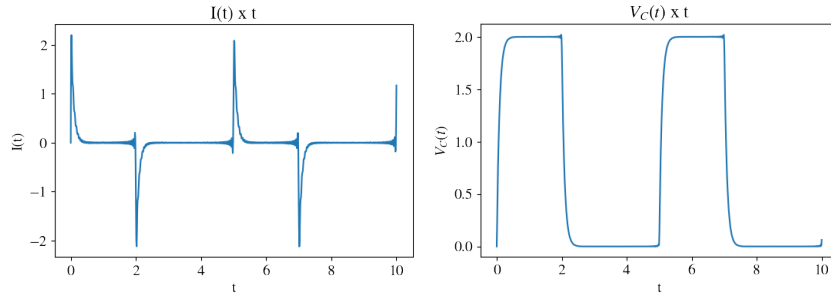


Figura 3: Espectros do Sinal  $V(t)$

Para os sinais de  $I(t)$  e  $V_c(t)$ , foram obtidos os seguintes gráficos:



Analogamente ao procedimento da Seção 3, obtemos os espectros do sinal  $I(t)$ , contidos nos seguintes gráficos:

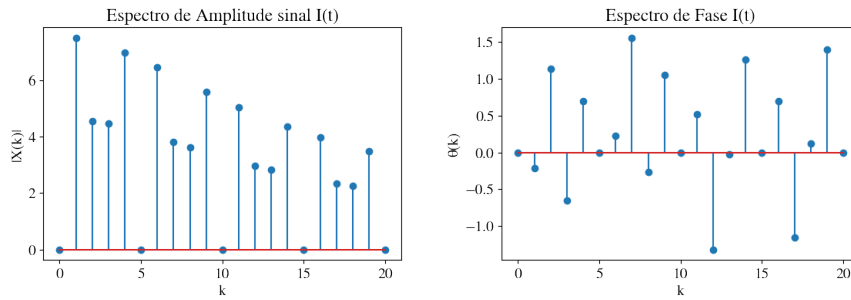
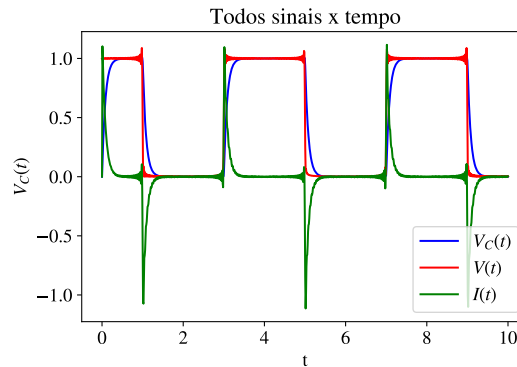


Figura 4: Espectros do Sinal  $I(t)$

## 6 Discussão dos Resultados

Analisando os resultados obtidos nas seções 2 e 3, podemos notar que o número de termos que compõem a série de Fourier ( $N$ ) é um parâmetro bastante relevante para convergência da série em relação ao sinal original, conforme exposto pelo comparativo 1.

Notamos ainda, que os gráficos de  $I(t)$  e  $V_c(t)$ , obtidos através da série de Fourier são sinais periódicos que acompanham a frequência do sinal original  $x(t)$ , conforme podemos observar no Comparativo (2), a seguir:



Comparativo 2: Sinais Obtidos nas Seções 2, 3 e 4 em função do tempo

Fisicamente, observamos que quando a tensão fornecida pela fonte de entrada decai, a corrente do circuito passa a se tornar negativa, mostrando que o capacitor passa a fornecer corrente para o circuito. A partir deste momento, a tensão sobre o capacitor  $V_c$  passa a decair, com um atraso com relação a tensão da fonte de entrada  $x(t)$ , até que atinja o valor nulo.

Este comportamento se repete periodicamente, ao longo do tempo, de acordo com a tensão de entrada. Quando a tensão de entrada sobe, o capacitor passa a se recarregar, operando num ciclo contínuo de carga e descarga, como ilustrado pelo Comparativo (2).

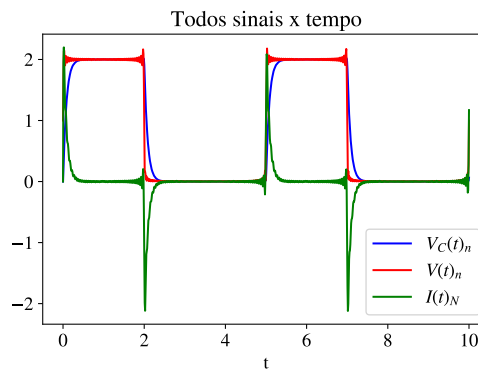
Durante a seção 4, podemos observar na Figura 1 que o espectro de amplitude de  $x(t)$  decai de 0.5 até menos de 0.1 no intervalo de  $k$  variando entre 0 e 20. Notamos ainda que os  $k$  harmônicos pares, não possuem relevância para amplitude da série, assumindo valor 0.

Igualmente, podemos observar na Figura 2 que o espectro de amplitude para  $I(t)$  também decai com o aumento do número de harmônicos na série ( $k$ ), porém com menor velocidade relativamente ao espectro de magnitude de  $x(t)$ , novamente, observamos que os harmônicos pares não possuem relevância para a amplitude do sinal  $I(t)$ .

Analisando o resultado obtido na Seção 5, observamos nas Figuras 3 e 4 que os harmônicos múltiplos de 5, não possuem relevância para série de Fourier, tanto no espectro de amplitude quanto no espectro de fase dos sinais  $V(t)$  e  $I(t)$ .

Na figura 3, podemos observar que o espectro de amplitude de  $V(t)$  decai de 0.8 até menos de 0.1 no intervalo de  $k$  variando entre 0 e 20. Notamos ainda, a partir do espectro de amplitude da Figura 4, que a amplitude dos harmônicos decai periodicamente, a cada 5 harmônicos calculados.

Analogamente aos sinais anteriores, temos que os gráficos de  $I(t)$  e  $V_c(t)$ , obtidos através da série de Fourier, são sinais periódicos que acompanham a frequência do sinal de entrada  $V(t)$ , conforme podemos observar no comparativo (3), a seguir:



Comparativo 3: Sinais Obtidos na Seção 5 em função do tempo

Por fim, podemos notar que devido à presença de parte imaginária nos harmônicos da série de Fourier obtidos na Seção 5, para o sinal de entrada, - representados pela Equação (16) - temos que os espectros de fase e amplitude se tornam menos regulares relativamente aos espectros obtidos na Seção 4, resultantes de harmônicos puramente reais, isto é, sem parte imaginária.

## 7 Código na Íntegra

### 1. Código Python Utilizado - Repositório GitHub